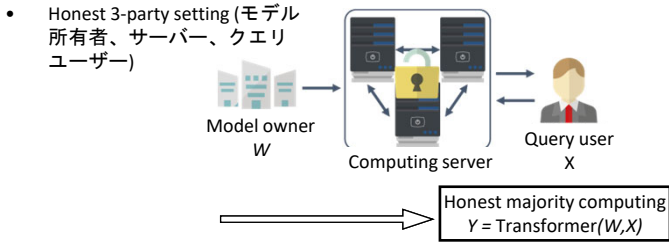
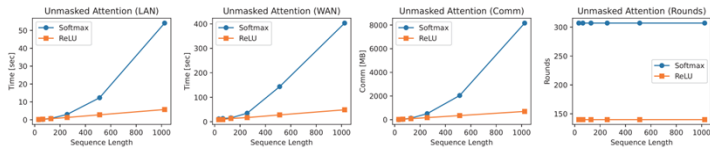


Privformer: Privacy-preserving Transformer with MPC, EuroS&P 2023

- APIモデルにおけるセキュアマルチパーティ計算(MPC)によるTransformer実装



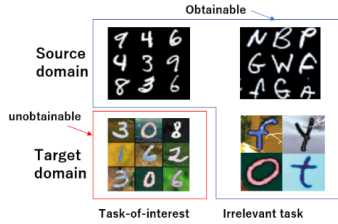
- Performerバリエーション(softmaxの代わりにReLU)とカーネルベースのアテンションマトリックスの近似を活用することで効率向上 $O(S^2) \rightarrow O(S)$



Yoshimasa Akimoto, Kazuto Fukuchi, Youhei Akimoto, Jun Sakuma, Privformer: Privacy-preserving Transformer with MPC, 2023 IEEE 8th European Symposium on Security and Privacy (EuroS&P)

Zero-shot Domain Adaptation Based on Dual-level Mix and Contrast

- Zero-shot domain adaptation
- (1) トレーニングドメイン(ソース)とテストドメイン(ターゲット)
- (2) ターゲットタスク(Tol)と関連タスク(IrY)
- (3) ターゲットドメインにおけるTolタスクへの適応



• Achieved 1st average classification accuracy

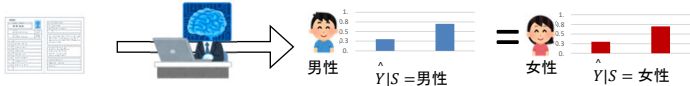
Domain shift	G → C	G → E	G → N	C → G	N → G
ZDDA	55.63	62.61	62.84	59.53	62.44
CoCoGAN	53.51	68.07	68.55	69.23	69.18
Wang2020	66.90	71.51	-	70.86	72.33
DF-ZSDA	62.76	65.85	63.84	88.45	63.44
Ours	62.68	69.26	82.4	80.64	83.08

Source	Pr	Rw	Ar	CI
Target	Ar	CI	Rw	Pr
CoCoGAN	57.6	53.4	71.7	69.2
Wang2020	70.3	60.8	74.8	72.2
DF-ZSDA	64.4	69.2	82.0	77.9
Ours	67.5	65.1	78.9	74.3

- Proposal
- (1) 中間データの生成によるタスクバイアスとドメインバイアスの分離
- (2) 敵対的学習によるドメインバイアスの軽減

Demographic Parity Constrained Minimax Optimal Regression under Linear Model, NeurIPS2023

公平な学習



最も良い公平な回帰アルゴリズムは何か?

- Y:出力, X:非センシティブ属性, S:センシティブ属性(性別, 人種)

$$Y = \langle \beta_S^T, X \rangle + \xi \quad X \sim N(\mu_S, \sigma_X^2 I)$$

偏回帰係数がSへ依存
SがYの分散へ影響

Xの平均がSへ依存
SがXを通じて間接的にYへ影響

結果

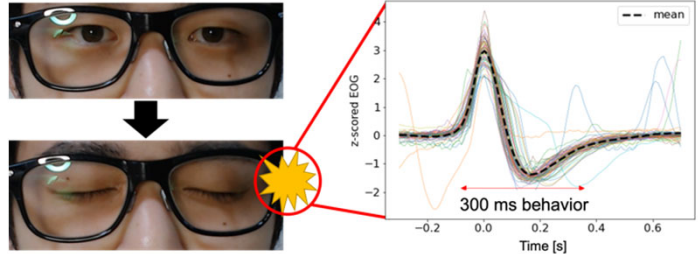
Sが出力の分散へ与える影響の大きさ (公平でない) 通常の線形回帰と同じ

$$\frac{B^2 \sigma_\xi^2 d M}{n} \leq \epsilon_n \leq \frac{B^2 \sigma_\xi^2 d M}{n} \sqrt{\frac{\sigma_X^2 B^2 M}{n}} \sqrt{\frac{B^2 U^2}{n}}$$

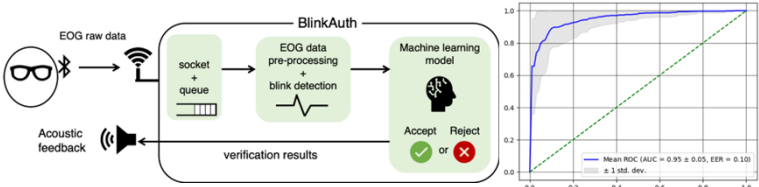
- σ_ξ^2 : 分散, d: Xの次元, M: Sの取りうる値の種類数, U: μ_S のノルム上昇
- Sの分散への影響が回帰の統計的難しさに影響する初めての結果
- 間接差別(SのXを通じたYへの影響)がある状況で初めての最適アルゴリズム

The Catcher in the Eye: Recognizing Users by their Blinks, AsiaCCS 2024

テーマ: 人間の瞬きを利用した個人認証方式 BlinkAuthの提案



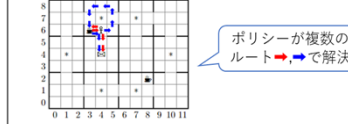
内容: 市販のメガネ型のデバイス(JINS MEME)で測定可能な眼電位データに対して教師あり機械学習を適用し、リアルタイムで高精度な個人認証が可能であること、様々な環境(作業中、メイク有無、時間経過、攻撃)に対して頑健な認証が達成できること、ユーザスタディの結果高いユーザビリティを有することを明らかにした。



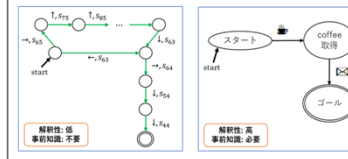
Ryo Iijima, Tetsuya Takehisa, Tetsushi Ohki, and Tatsuya Mori, The Catcher in the Eye: Recognizing Users by their Blinks, ACM ASIACCS 2024

Extracting Small Automata Representing Behavior of Reinforcement Learning Agent with Optimal Compression

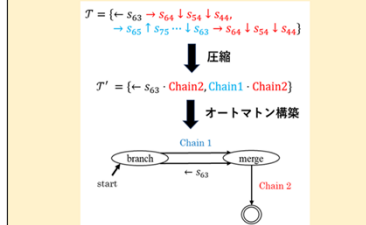
強化学習ポリシーの動作を表すオートマトン生成: 事前知識なしで生のトレースを用いると、解釈性が低く、時間もかかる。



全動作を抽出(事前知識なし) / コーヒーとメール取得したら報酬が得られる / コーヒー(3,6)とメール(4,4)の地点が重要であるという事前知識の上で抽出



提案手法: 実行トレースサンプルから、系列のまとまり(Chain)を圧縮する。



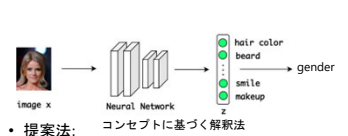
結果: 事前知識なしで、解釈性の高いオートマトンを少ない実行時間で生成可能となった。

Raw trace	Size of automata	Generating time (s)
Compressed trace (reduced)	29	1.92156
	7	0.01023
	7	(=0.00522 [compression] + 0.00506 [automata generation])

under review

Statistically Significant Concept-based Explanation of Image Classifiers via Model Knockoffs, IJCAI2023

- コンセプトに基づく解釈法における問題点
 - どのコンセプトも多少予測に関係ある
 - 予測に関係のないコンセプトを重要だと取り間違える(偽陽性な解釈)
- 結果
 - 人工データ: 指定のFDR(0.1)の下にコントロール



提案法: コンセプトに基づく解釈法 / 特徴抽出器でスパースな特徴を画像から学習する / Knock-offによる「不必要な要因」の偽発見率(False Discovery Rate)を理論的に抑える

